

کاربرد رویه بتن آرمه در بهسازی لرزه‌ای سقف‌های شیبدار طاق ضربی ساختمان‌های بنایی

مرتضی رئیسی دهکردی^{۱*}، سجاد ویس مرادی^۲، شیدا الله یوسفی^۳، مهدی اقبالی^۴

- ۱- استادیار، دانشکده مهندسی عمران، دانشگاه علم و صنعت ایران
۲،۳- کارشناسی ارشد مهندسی عمران- مهندسی زلزله، دانشکده مهندسی عمران، دانشگاه علم و صنعت ایران
۴- استادیار، گروه مهندسی عمران، دانشکده مهندسی، دانشگاه زنجان

* mraissi@iust.ac.ir

تاریخ دریافت: [۹۴/۰۴/۲۸] تاریخ پذیرش: [۹۵/۰۳/۱۹]

چکیده- یکی از مشکلات اصلی سازه‌های بنایی، عملکرد نامطلوب و عدم صلابت سقف طاق ضربی آن در اثر زلزله است. این نقطه ضعف، در سقف‌های طاق ضربی شیبدار خود را بیشتر نشان می‌دهد. پس برای بررسی عملکرد سقف طاق ضربی و همچنین تاثیر شیب بر آن، در این مقاله تعداد ۸ نمونه سازه بنایی یک طبقه با سقف طاق ضربی با شیب‌های صفر، ۱۰، ۱۵ و ۲۰ درجه در حالت‌های بهسازی نشده و بهسازی شده با رویه بتن آرمه در نرم افزار اجزای محدود ANSYS مدلسازی شده و تحت تحلیل استاتیکی غیرخطی بررسی شده است. برای مقایسه میزان کارایی رویه بتن آرمه، پارامتر ضربی رفتار سازه در هردو حالت با و بدون رویه محاسبه شد. نتایج نشان می‌دهد که بهسازی با رویه بتن آرمه باعث افزایش صلابت سقف‌ها می‌شود. افزایش شیب سقف سبب کاهش مقاومت و سختی الاستیک و نیز ضربی رفتار سازه می‌شود که به کمک روش بهسازی با رویه بتن آرمه می‌توان این پارامترها را بهبود بخشد. همچنین نتایج تحلیل اقتصادی نیز نشان‌دهنده آن است که روش بهسازی با رویه بتن آرمه نسبت به شیوه‌های دیگر بهسازی با توجه به عملکرد مناسب‌تر از نظر اقتصادی مفروض به صرفه است.

واژگان کلیدی: سازه بنایی، سقف طاق ضربی، سقف شیبدار، رویه بتن آرمه، تحلیل استاتیکی غیرخطی، تحلیل اقتصادی

۱- مقدمه

صالح آجر و ملات گچ و خاک در آن استفاده می‌شود (شکل ۱). اجرای قوسی این نوع سقف‌ها به منظور انتقال بار وارد شده از سقف به تیرهای فرعی است. دال طاق ضربی به صورت یک طرفه بوده و تحت اثر بارهای ثقلی استاتیکی رفتار مناسبی دارد ولی تحت بارهای کششی ناشی از زلزله‌ها ناپایدار و دارای ضعف اساسی بوده است. عدم انسجام و یکپارچگی دال، ناتوانی در انتقال نیروهای درون صفحه و خارج از صفحه ناشی از زلزله، اندرکنش دینامیکی بین عناصر ناهمگون تیرآهن و طاق‌های آجری و وزن زیاد، از جمله ضعف‌های این نوع دال در برابر بارهای جانی است. با این حال همچنان اینگونه سقف‌ها در مناطق روستاوی اجرا می‌شوند [۱].

دال طاق ضربی یکی از سیستم‌های رایج برای مسقف نمودن ساختمان است که به دلیل سادگی اجرا، در خاورمیانه به ویژه ایران، بیشتر از کشورهای دیگر مورد توجه بوده است، به گونه‌ای که بسیاری از ساختمان‌ها با این روش مسقف شدند [۱]. بیش از نیمی از دال‌های اجرشده در ایران در نیم قرن اخیر از نوع طاق ضربی و به صورت سنتی، تجربی و غیر مهندسی اجرا شده‌اند [۲]. سقف طاق ضربی از دو تیر موازی (پل) و تیرهای فرعی موازی با فاصله ۱ متر و عمود بر پل‌ها تشکیل می‌شود. طول دهانه‌های قابل اجرا تا حدود ۵ متر است و از

سقف های طاق ضربی یک طرفه پرداخته اند و روشنی برای طراحی دال های طاق ضربی دو طرفه ارائه دادند [9]. میرجلیلی و همکاران به بررسی آزمایشگاهی سقف طاق ضربی سنتی پرداختند و نتیجه گرفتند که با تسممه کشی قطری می توان علاوه بر افزایش مقاومت سقف، سختی درون صفحه ای آن را نیز افزایش داد [10]. سلاجمه و همکاران نشان دادند عدم توجه به رفتار واقعی دیافراگم منجر به پیدایش خطاهای جدی در نحوه توزیع نیروهای ناشی از زلزله می شود و همچنین تأثیر روش های مختلف مقاوم سازی سقف در توزیع نیروی زلزله را با یکدیگر مقایسه نمودند [11].

از آن جا که رفتار سقف های طاق ضربی شیبدار، به دلیل افزایش نیروهای خارج از صفحه نسبت به سقف های افقی بحرانی تر می باشد، بررسی راهکارهای موثر برای بهبود عملکرد این گونه سقف ها امری ضروری است. بهسازی لرزه ای سقف های طاق ضربی به کمک رویه بتن آرمه می تواند بهبود قابل ملاحظه ای در عملکرد این سقف ها ایجاد نماید. برای بررسی میزان کارایی رویه بتن آرمه، می توان از پارامتر ضربی رفتار سازه بهره گرفت. برای انجام این کار، تعداد ۸ ساختمان بنایی در دو حالت سقف شیبدار با و بدون رویه بتن آرمه با چهار مقدار شبکه مختلف مدل سازی و نتایج با یکدیگر مقایسه شده و میزان تأثیر رویه بتن بر روی ضربی رفتار سقف های شیبدار بررسی شده است.

۳- روش های مقاوم سازی سقف طاق ضربی

بطور کلی سه روش برای بهبود عملکرد سقف های طاق ضربی موجود است:

۱- استفاده از تسممه یا میلگرد به صورت ضربدری (مطابق ضوابط ویرایش سوم استاندارد ۲۸۰۰)

۲- ایجاد شبکه فولادی با استفاده از تیرهای فرعی عمود بر تیرهای اصلی [12] مطابق شکل (۲)

۳- استفاده از رویه بتن آرمه [12] مطابق شکل (۳)

ایراد اساسی روش دوم، هزینه زیاد و همچنین از بین رفتن نازک کاری سقف است، زیرا سقف با یستی تراشیده شده تا فضای کافی برای تیرهای فرعی ایجاد شود.

۲- مروری بر عملکرد لرزه ای دال های طاق ضربی

سقف های طاق ضربی غیر مهندسی در گزارش های رازنی (۱۹۷۳) و امبرسیز (۱۹۷۳) مربوط به زلزله قیر استان فارس (۱۳۵۱) باعث عملکرد لرزه ای ضعیف ساختمان های اسکلت دار

شکل (۱) جزئیات اجرایی و مصالح سقف طاق ضربی

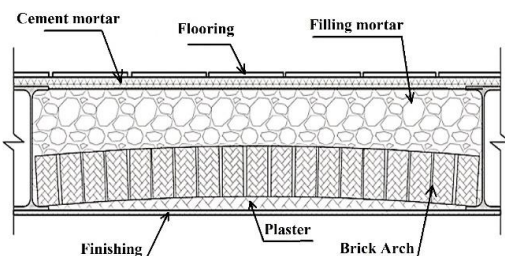


Fig. 1 – Jack arch roof details

شده اند [3,4]. پس از زلزله قیر، وقوع زلزله های طبس (سال ۱۳۵۷) در خراسان و گلبا ف و سیرچ (سال های ۱۳۶۱ و ۱۳۶۲) در کرمان، ضعف سقف های طاق ضربی بیش از گذشته را نمایان نموده است [5,6]. پس از وقوع زلزله های منجبل (۱۳۶۹) و بم (۱۳۸۲) و مشاهدات حاصل از آن عملکرد سقف های طاق ضربی در برابر ارتعاش های ناشی از زمین لرزه تحت بررسی کامل تری قرار گرفت.

تعداد محدودی از ساختمان های طاق ضربی مسلح به کلاف بتی به دلیل ایجاد انسجام و پایداری سقف از طریق کلاف بتی رفتار لرزه ای مطلوبی داشته اند. با این حال ضعف مصالح کلاف بتی و نبود اتصال مناسب بین تیرهای آهن و کلاف بتی دلایل سقوط این سقف در زلزله های گذشته بوده است [4]. مشاهدات فوق بیانگر ضعف دال های طاق ضربی مهار شده ۲۸۰۰ (نیمه مهندسی) پیشنهادی به وسیله هی ویرایش اول استاندارد [7]، تحت اثر ارتعاشات و نیروهای وارد بوده است. پس ارائه روش های طراحی و اجرای مهندسی این نوع سقف ها ضروری است. ماهری مدل لرزه ای مناسب سقف های طاق ضربی را با استفاده از تیرچه های فولادی عرضی ارائه و بر اساس نتایج مدل های المان محدود بر کارایی مناسب استفاده از دال مهندسی دوطرفه طاق ضربی در مناطق زلزله خیز تأکید نموده است [8]. ماهری و رحمانی به بیان نقاط ضعف

[13] لرزاها از نرمافزار تحلیل غیرخطی ANSYS استفاده شده است. مدلسازی شامل چهار سازه بنایی با سقف طاق ضربی با مقادیر زاویه شیب متفاوت تخت، ۱۰، ۱۵ و ۲۰ درجه بوده است. مدل‌های مورد مطالعه با رویه بتن آرمه به ضخامت ۵ cm و شبکه میلگرد با قطر ۱۴ mm به فاصله‌ی ۳۰ cm در دو جهت عمود برهم مدلسازی شده‌اند. پلان سازه‌ها مستطیلی به ابعاد ۷×۵ متر بوده و دارای دیوارهای آجری با ضخامت ۳۰ سانتی‌متر و ارتفاع ۳ متر است. دو نمونه از مدل‌های مورد مطالعه و یک نمونه از مدل سقف طاق ضربی شیبدار با رویه بتن آرمه در شکل‌های (۴ تا ۶) ارائه شده است.

شکل (۴) نمای رو برو هندسه مدل همراه با شبکه‌بندی

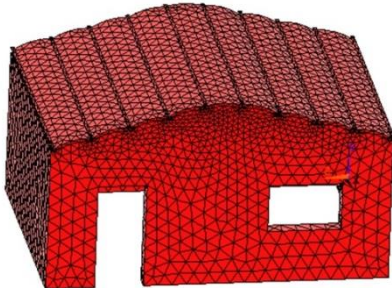


Fig.4. Front view of the modelled structure

شکل (۵) نمای پشت هندسه مدل همراه با شبکه‌بندی

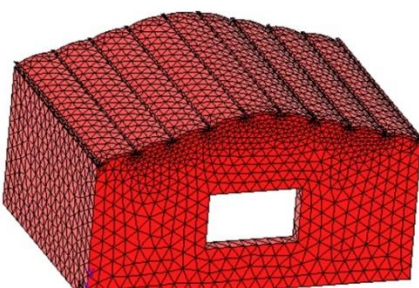


Fig.5. Back view of the modelled structure

شکل (۶) مدل سقف طاق ضربی شیبدار با رویه بتن آرمه

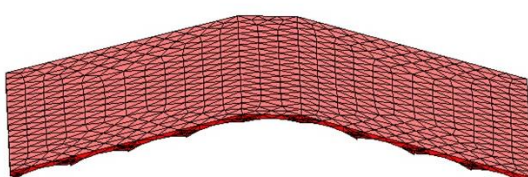


Fig.6. The modelled jack arch slab with concrete layer

شکل (۲) جزئیات روش شبکه تیرهای متقطع [۱۰]

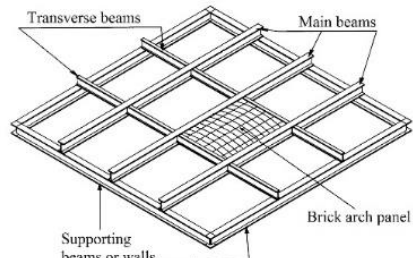


Fig.2. Details of jack arch roof with steel grid[10]

شکل (۳) بهسازی سقف طاق ضربی با رویه بتن آرمه [۱۲]

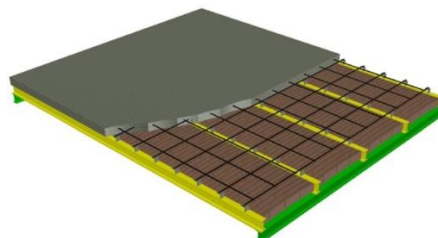


Fig.3. Retrofitting of jack arch roof with concrete layer[12]

در روش سوم (روش مورد استفاده در این پژوهش) پس از برداشتن خاک، سنگ و نخاله موجود روی آجرها، یک شبکه میلگرد ایجاد شده و به تیرهای سقف متصل می‌شود. سپس سقف به ضخامت کمینه ۵ سانتی‌متر بتن‌ریزی می‌شود. نتایج نشان داده استفاده از بتن رویه با ضخامت‌های ۷ و ۹ سانتی‌متر باعث افزایش مقاومت ۱۵٪ تا ۲۰٪ نسبت به ضخامت ۵ سانتی‌متر می‌شود، درحالی که این افزایش ضخامت، برای لایه‌های ۷ و ۹ سانتی‌متری به ترتیب باعث افزایش وزن سقف به مقدار ۴۰٪ و ۴۶٪ خواهد شد [12]. لذا ضخامت ۵ سانتی‌متر به عنوان «ضخامت بهینه» محسوب می‌شود.

۴- مدل سازی

در این پژوهش از چهار مدل ساختمان بنایی با و بدون در نظر گرفتن رویه بتنی سقف طاق ضربی (در مجموع ۸ مدل) استفاده شده است. میزان شیب سقف مدل‌های مطالعه شده دارای مقادیر متفاوتی است.

۴-۱- مشخصات مدل‌ها

کلیه ساختمان‌های بنایی مطالعه شده روی خاک نوع ۲ با زلزله‌خیزی زیاد قرار دارند. برای مدلسازی و بررسی رفتار

منحنی تنش کرنش فولاد به صورت دوخطی تعریف شده است و شیب ناحیه غیرخطی بر اساس ضوابط [15] FEMA-356 برابر با $0/0^{\circ}$ شیب ناحیه خطی لحاظ شده است. مطابق رابطه ۱ مدول گسیختگی بتن (f_r) و مقاومت خردشده بتن نیز بر طبق ACI-318 برابر است با [14]:

$$f_r = 0.7 \sqrt{f'_c} \quad (1)$$

برای مدلسازی پروفیل های فولادی از المان 45 و برای طاق ضربی، رویه بتن آرمه و دیوارهای پیرامونی از المان Solid 65 استفاده شده است. لازم به گفتن است که ANSYS رفتاری Hognestad برای رفتار منحنی تنش-کرنش فشاری بتن (Solid 65) استفاده می نماید [13].

با توجه به چسبندگی خوب بین رویه بتن آرمه و طاق آجری و وجود سطح چسبندگی زیاد امکان جدا شدن بتن رویه از طاق ضربی و ایجاد لغزش بین رویه بتن آرمه و طاق آجری در بارگذاری اعمال شده بسیار نامتحمل بوده و بنابراین رویه بتنی و طاق ضربی تحت تاثیر بارگذاری جانبی عملکرد یکپارچه ای از خود نشان می دهد. دلیل این امر می تواند به خاطر شباهت یافتن سیستم سقف بهسازی شده با رویه بتن به یک سقف کامپوزیتی فولادی بتنی باشد.

این موضوع در قوع زلزله های گذشته و پژوهش های آزمایشگاهی نیز اثبات شده است [17]. بنابراین با توجه به تجربه پژوهش های قبلی و زلزله های اخیر و برای افزایش سرعت در تحلیل مدل ها، در مدلسازی در محل اتصال گره های المان های این دو قسمت به صورت مشترک در نظر گرفته شده است.

۳-۴- دیوارهای مصالح بنایی

برای بررسی دقیق رفتار لرزه ای سازه های بنایی، نیاز است که علاوه بر بررسی رفتار سقف طاق ضربی، عملکرد دیوارهای بنایی و مودهای شکست آن نیز مطالعه شود. انواع ترک ها در دیوارهای بنایی شامل ترک فشاری، کششی مستقیم، ترک های

۲-۴- مدلسازی مصالح و سقف ها

برای مدلسازی مصالح بنایی از رویکرد ماکرو استفاده شده است. بدین صورت که در مدل مورد نظر ترکیب آجر و ملات به صورت یک ماده در نظر گرفته شده است و برای مشخصات مکانیکی این ماده مانند مقاومت فشاری و مدول الاستیسیته این ترکیب، از اعداد مربوط به نتایج آزمایشگاهی ماهری و همکاران [12] استفاده شده است. آجرها و ملات ها به صورت یک ماده همگن معادل فرض می شود. این رویکرد برای تحلیل ساختار مصالح بزرگ تر استفاده می شود [14]. خواص مربوط به سقف طاق ضربی از نتایج آزمایشگاهی ماهری و پورفلایح [12] گرفته شده است. مقاومت فشاری دیوار آجری معادل با کران پایین مقاومت فشاری برای مصالح با شرایط متوسط در نظر گرفته شده است و مدول الاستیسیته آن برابر با ۵۵۰ برابر مقاومت فشاری آن منظور شده است (جدول ۱).

جدول (۱) مشخصات مصالح (بر حسب MPa)

	Parameter	Value (MPa)
Jack Arch roof	Compressive strength of brick units	13.8
	Compressive strength of clay-gypsum mortar	6
	Tensile (flexural) strength of brickwork	0.25
	Tensile strength of clay-gypsum mortar	0.8
	Compressive strength of brickwork	8.4
	Young's modulus of brickwork	2500
	Poisson's ratio for brickwork	0.2
	Tensile strength of steel beams (IPE120)	240
	Young's modulus of steel beams (IPE120)	20000
	Compressive strength of concrete	25
Concrete layer	Young's modulus of concrete	23500
	Poisson's ratio of concrete	0.15
	Yield strength of steel reinforcement	400
	Young's modulus of steel reinforcements	21000
	Compressive strength of brick wall	4
Brick Wall	Tensile strength of brick wall	0.07
	Young's modulus of brick wall	2200
	Poisson's ratio of brick wall	0.15

Table 1 – Material properties

شکل (۸) معیار گسیختگی مورد استفاده برای دیوار

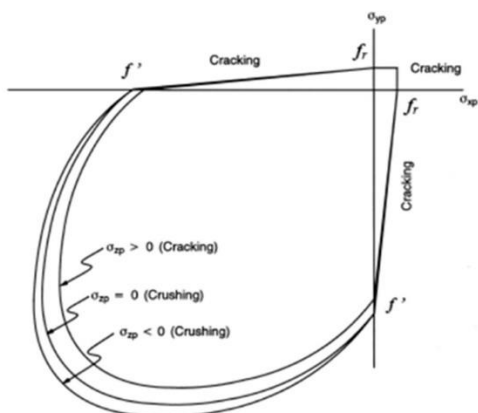


Fig. 8. The utilized failure criteria for masonry walls

شکل (۹) ترک های قطری در دو طرف مدل دراثر بار بار پوش اور

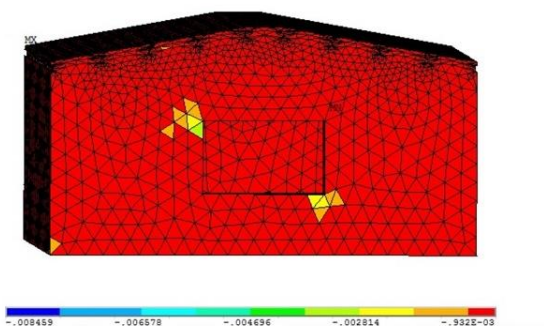
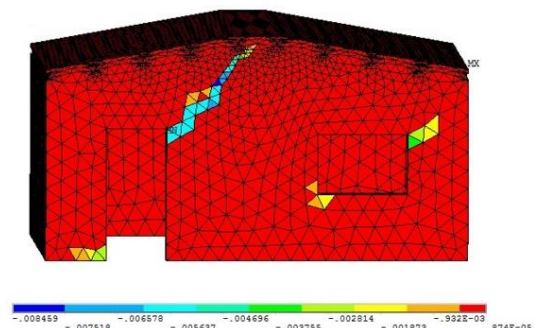


Fig. 9. The diagonal cracks on the back and front view of the model during pushover analysis

۴-۴- درستی آزمایی مدل‌ها

به منظور درستی آزمایی، نمونه آزمایشگاهی سقف طاق ضربی [12] (شکل ۱۰) و شرایط بارگذاری اعمال شده بر سقف به وسیله نرم‌افزار مدل شده (شکل ۱۱) و نتایج مقایسه شده‌اند (شکل ۱۲).

قطری پله‌ای و مستقیم و ترک افقی درز ملات است که در شکل (۷) قابل مشاهده است [18].

شکل (۷) انواع مودهای شکست غالب در دیوارهای بنایی [18]

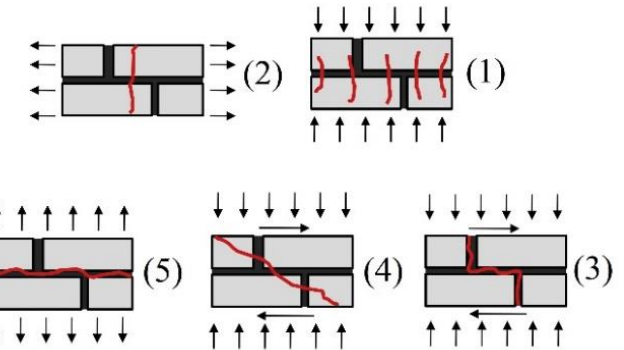


Fig.7. The failure modes associated with masonry walls[18]

مدل ماکروی استفاده شده برای دیوار باید بتواند تمام الگوهای شکست را در نظر بگیرد ضمن آن که الگوی رفتاری آن مانند الگوی رفتاری مصالح ترد باشد. در این پژوهش برای تعریف رابطه تنش و کرنش از مدل اصلاح شده هگنستاد استفاده شده که برای مصالح ترد مناسب است. برای تعیین منحنی ایزوتروپ تنش و کرنش از رابطه ۲ استفاده شده است:

$$E = \frac{f}{\varepsilon} \quad , \quad \varepsilon_0 = \frac{2f'}{E} \quad (2)$$

در این رابطه f میزان تنش در هر کرنش ۴ و ε_0 معادل کرنش در تنش نهایی f' است که از منحنی اصلاح شده تنش کرنش هگنستاد قابل استخراج است که توانایی پیش‌بینی گسیختگی بر اساس ترک^۱ و خردش^۲ را دارد. معیار گسیختگی به وسیله‌ی دو پارامتر مقاومتی (مقاومت کششی و فشاری تک محوری) از نمودار (۸) به دست می‌آید. با توجه به نوع بارگذاری دیوار که شامل بار مرده سقف در جهت قائم و بار اعمالی در جهت افقی است، بنابراین گسیختگی از نوع ترک قطری محمل تر بوده که در سازه‌های مدل شده نیز شاهد ترک‌های قطری در اطراف بازشوها هستیم (شکل ۹).

1 Cracking

2 Crushing

است.

شکل (۱۳) مشاهده ترک های قطری در دیوار مدل شده بنایی (بر اساس پژوهش های مهرابی و همکاران [۱۹])

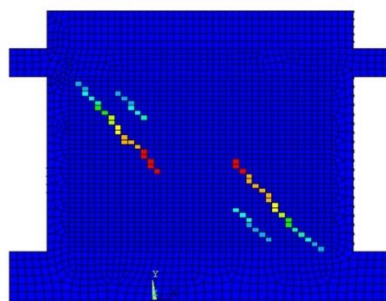


Fig. 13. Diagonal cracks in the modelled masonry wall (Mehrabi et al.[19])

شکل (۱۴) درستی آزمایی دیوار با نتایج مهرابی و همکاران [۲۳]

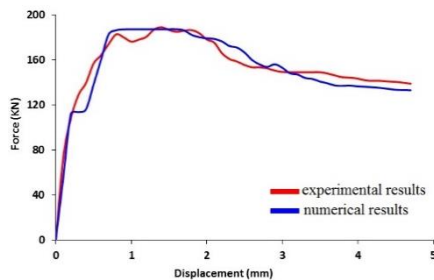


Fig. 14. Comparison of experimental results [23] and analytical results from calibrated model of masonry wall

۵- تحلیل مدل های مطالعه شده

برای بررسی عملکرد لرزه ای سقف های طاق ضربی از تحلیل استاتیکی غیرخطی بارافزون^۱ (NSP) استفاده شده است. در این پژوهش، بار جانبی در جهت عمود بر محور تیرهای سقف بوده، الگوی بار جانبی به صورت مثلثی است و جهت تعیین تغییر مکان هدف از دستورالعمل بهسازی لرزه ای سازه های موجود و نشریه ۳۶۰ [۲۰] استفاده می شود. تغییر مکان هدف سازه نیمه صلب و انعطاف پذیر معادل حاصل ضرب تغییر مکان هدف برای سازه با دیافراگم صلب و نسبت حد اکثر تغییر مکان هر نقطه ای از بام به تغییر مکان مرکز جرم بام خواهد بود [۲۰] در این مقاله برای ارزیابی عملکرد سازه ها، می توان از تئوری ضربی رفتار یوانگ استفاده نمود که شامل تعیین منحنی

شکل (۱۰) نمونه آزمایشگاهی ماهری و همکاران [۱۲]



Fig. 10. The experimental test by Maher et al. [12]

شکل (۱۱) نمونه مدل سازی شده سقف طاق ضربی

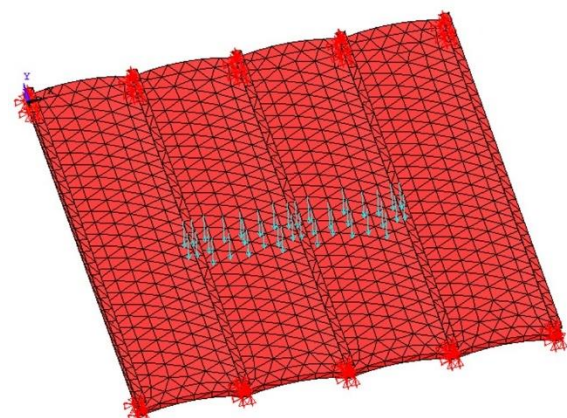


Fig. 11. The modelled jack arch roof for calibration

شکل (۱۲) صحت سنجی سقف با نتایج آزمایشگاهی ماهری و همکاران [۱۲]

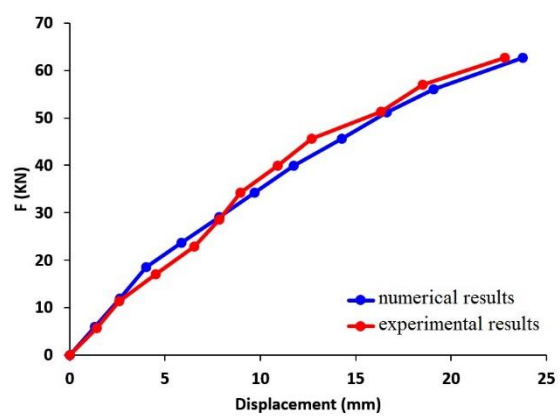


Fig. 12. Comparison of experimental results and analytical results from calibrated model of roof (Maheri et al. [12])

برای بررسی این که مدل اصلاح شده هگنستاد توانایی شبیه سازی رفتار دیوار بنایی را دارد، از نتایج آزمایشگاهی مهرابی و همکاران [۱۹] بهره گرفته شده شکل های (۱۳ و ۱۴) که نشان از میزان خطای قابل چشم پوشی مدل در شبیه سازی رفتار دیوار

۶- نتایج

۱-۶- بررسی صلبیت سقف‌ها

صلبیت سقف‌ها از معیارهای مهم در طراحی سازه‌ها است. ضوابط مربوط به سقف‌های صلب و نیمه‌صلب در استاندارد [7] ارائه شده است. توزیع نیروهای جانبی در ساختمان‌های با سقف‌های صلب بر اساس نسبت سختی بین اعضای باربر انجام می‌گیرد و در سقف‌های نیمه‌صلب و انعطاف‌پذیر توزیع نیروی جانبی به نسبت سطح بارگیر اعضای باربر انجام می‌گردد. در جدول (۲) وضعیت تغییر شکل دیافراگم‌ها و میزان صلبیت هر یک از سقف‌ها در دو حالت مسلح و ساده ارائه شده است. مطابق ضوابط استاندارد ۲۸۰۰ [7]، متوسط تغییر مکان جانبی نسبی دیوارها با بیشینه تغییر مکان افقی سقف مقایسه شده و میزان افزایش صلبیت پس از بهسازی برای نمونه‌ها ارائه شده است. استفاده از رویه بتی باعث تغییر رفتار سقف‌ها از حالت نیمه‌صلب به حالت صلب شده است.

جدول (۲) تغییر شکل‌ها و صلبیت دیافراگم‌های مطالعه شده

slope	ordinary roof (semi-rigid)			retrofitted roof (rigid)		
	Δ_d	Δ_w	Δ_d/Δ_w	Δ_d	Δ_w	Δ_d/Δ_w
0"	1.08	1.33	0.81	0.16	1.58	0.1
10"	1.22	1.55	0.79	0.19	1.53	0.12
15"	1.21	1.48	0.81	0.2	1.7	0.12
20"	1.25	1.56	0.8	0.2	1.51	0.13

Table 2 – Rigidity and deflection values for the diaphragms

در این جدول Δ_d و Δ_w به ترتیب بیشینه جابه‌جایی سقف و جابه‌جایی متوسط دیوار پیرامونی است. تغییرات جابه‌جایی افقی بام نیز با افزایش صلبیت سقف در شکل‌های (۱۷ و ۱۸) نشان داده شده است. برای سقف طاق ضربی ساده جابه‌جایی افقی سقف به صورت متقاضان می‌باشد و تغییرات جابه‌جایی با حرکت به سمت مرکز سقف افزایش یافته است. میزان متفاوت بازشوهای دیوارهای شمالی و جنوبی باعث ایجاد سختی‌های جانبی با مقادیر مختلف در این دیوارها شده است. در سقف‌های طاق ضربی ساده سختی دیوارها به علت انعطاف‌پذیری سقف تاثیری بر مقادیر جابه‌جایی نقاط مختلف سقف نداشته است. در سقف‌های بهسازی شده با رویه بتی به

بارافرون سازه و دوخطی سازی آن جهت محاسبه مقاومت افزون و شکل پذیری است (شکل ۱۵). برای تعیین ضربی شکل پذیری از ضوابط پیشنهادی ناسار-کراوینکلر استفاده می‌شود. برای توضیحات تکمیلی در خصوص این پارامترها، میتوان به مراجع [21,22,23] مراجعه نمود.

شکل (۱۵) منحنی پاسخ پوش آور و منحنی دوخطی شده جهت محاسبه ضربی رفتار R [21]

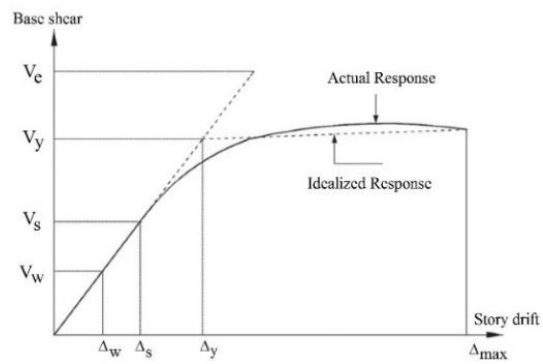


Fig. 15. General pushover curve for obtaining R-factor[21]

شکل (۱۶) پخش بار جانبی بر روی سقف سازه

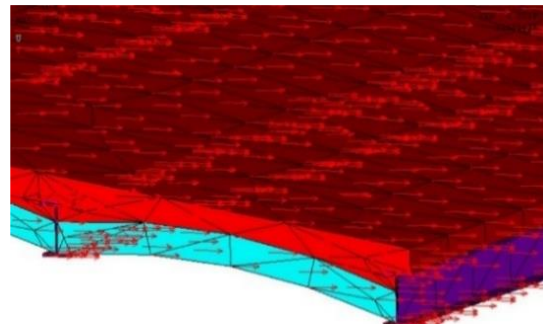


Fig. 16. Distribution of lateral loads on the roof

نکته‌ای که باید به آن توجه نمود، چگونگی اعمال بار جانبی بر سقف انعطاف‌پذیر است. از آنجا که سقف طاق ضربی از نوع سقف باعث افزایش تنش در نقطه اعمال بار شده و خرابی موضعی در آن نقطه می‌شود. پس برای جلوگیری از تمرکز تنش، بار جانبی مورد نظر به صورت گستردگی در حجم سقف پراکنده شد. برای این کار بار به تک تک گره‌های سقف اعمال شده است. در شکل (۱۶) چگونگی اعمال بارگذاری به سقف طاق ضربی در نرم افزار Ansys ارائه شده است.

ضربی، افزایش شیب سقف‌ها باعث کاهش سختی اولیه و مقاومت سازه شده، به گونه‌ای که سازه بنایی با سقف تخت بیشترین سختی اولیه و مقاومت را دارد و سازه با شیب سقف ۲۰ درجه کمترین مقدار سختی و مقاومت را داشته است. کلیه مدل‌ها پس از بهسازی افزایش سختی و مقاومت داشته‌اند. با توجه به بارگذاری جانبی در منحنی‌های بارافرون در سازه‌ها، افزایش شیب سقف باعث افزایش نیروهای خارج از صفحه به عناصر بنایی سقف می‌شود، این عناصر در تحمل نیروهای خارج از صفحه ضعیف‌اند، بنابراین جابه‌جایی بیشتری را متحمل می‌شوند که باعث افت سختی و مقاومت سازه شده است. رفتار کلیه مدل‌ها پس از بهسازی تقریباً یکسان بوده و منحنی نیرو-تغییر مکان مدل‌ها پس از اضافه شدن رویه بتن آرمه به سقف به طور تقریبی بر روی یکدیگر منطبق شده‌اند. قبل از بهسازی سقف‌های طاق ضربی سازه دارای جابه‌جایی‌های زیاد است و خرابی در سقف سازه به وقوع می‌پیوندد. بهسازی سقف باعث می‌شود که از مودهای خرابی سقف جلوگیری شده و سازه از ظرفیت دیوارهای اطراف آن بیشتر بهره برد. در این پژوهش، رفتار لرزه‌ای دیوارها در مدل‌سازی به گونه‌ای لحاظ شده است که امکان انتقال خرابی از سقف به دیوار فراهم شود. پس بهتر است بهسازی سقف‌های طاق ضربی همراه با بهسازی دیوارهای باربر پیرامونی انجام گیرد تا بتوان از بیشینه ظرفیت اجزای سازه تحت اثر بارهای جانبی استفاده نمود.

شکل (۱۹) منحنی نیرو-جابه‌جایی مدل‌های با سقف‌های طاق ضربی ساده

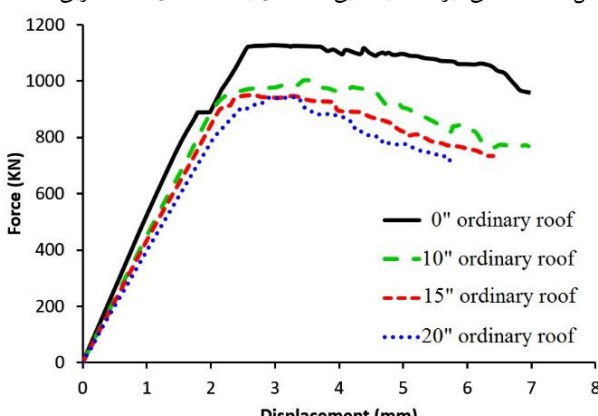


Fig. 19. Force-displacement curves for the ordinary jack arch roofs

علت رفتار صلب و توزیع نیروی جانبی به نسبت سختی بین دیوارها نمودار تغییرات جابه‌جایی سقف متقاضی نبوده، در نتیجه استفاده از ضوابط صلبیت برای سقف شبیدار طاق ضربی بهسازی شده با رویه بتن آرمه مطابق استاندارد ۲۸۰۰ برقرار است.

شکل (۱۷) تغییرات جابه‌جایی افقی سقف طاق ضربی ساده

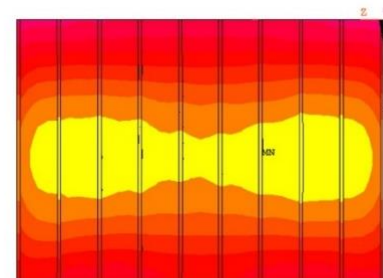


Fig. 17. Lateral displacement of ordinary jack arch roof

شکل (۱۸) تغییرات جابه‌جایی افقی سقف طاق ضربی بهسازی شده با رویه بتن آرمه

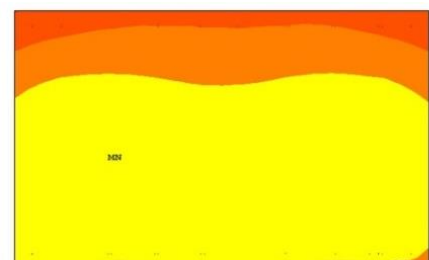


Fig. 18. Lateral displacement of retrofitted jack arch roof

۲-۶- منحنی‌های نیرو-تغییر مکان

بر اساس منحنی‌های نیرو-تغییر شکل سازه می‌توان اطلاعاتی در مورد مشخصات رفتاری سازه شامل سطوح عملکرد، شکل پذیری، مقاومت و سختی سازه بدست آورد. برای این منظور، مقادیر مربوط به نیرو-جابه‌جایی هر یک از مدل‌ها در هر گام بارگذاری برای تهیه منحنی نیرو-تغییر مکان مرکز جرم بام سازه ارائه شده است شکل‌های (۱۹ و ۲۰). مدل‌های مطالعه شده تا سطح عملکرد آستانه فروریزش بارگذاری شده‌اند. بر اساس نتایج بدست آمده، قبل از بهسازی سقف‌های طاق

شکل (۲۲) مقاومت مدل‌های اولیه (بهسازی نشده) و بهسازی شده

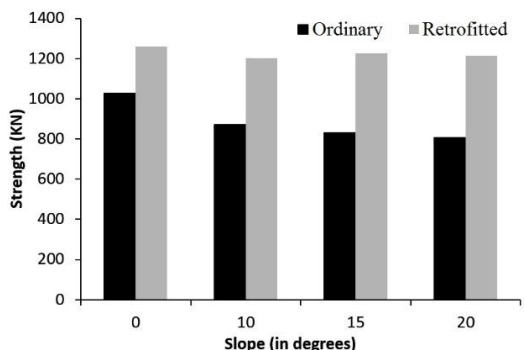


Fig. 22. Comparison of strength for ordinary and retrofitted models

شکل (۲۳) میزان افزایش سختی و مقاومت پس از بهسازی با رویه بتون آرمه

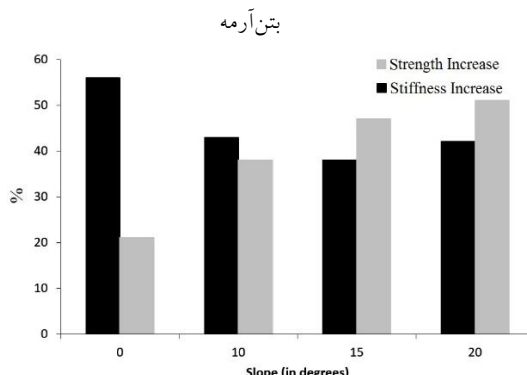


Fig. 23. Comparison of the stiffness and strength for ordinary and retrofitted models

شکل (۲۰) منحنی نیرو- جابه‌جایی مدل‌های با سقف‌های طاق ضربی

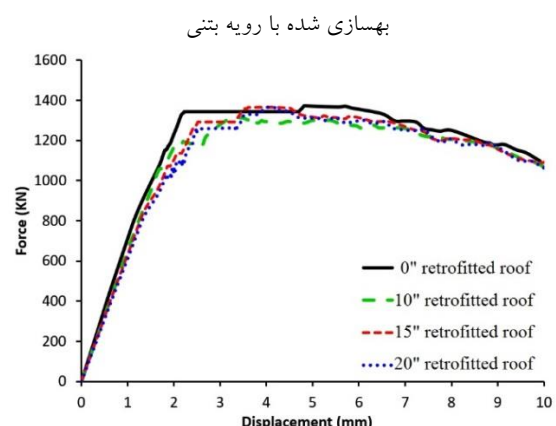


Fig. 20. Force-displacement curves for the retrofitted jack arch roofs

۳-۶- سختی و مقاومت

در این بخش به مقایسه سختی الستیک اولیه و مقاومت سازه‌های بنایی قبل و بعد از بهسازی با رویه بتون آرمه پرداخته شده است. شکل‌های (۲۱ و ۲۲) بیانگر مقاومت و سختی الستیک اولیه برای هر دو دسته سازه‌های اولیه و بهسازی شده است. همچنین میزان افزایش سختی و مقاومت نیز به ازای افزودن رویه بتون آرمه بر سقف بر حسب درصد برای این سازه‌ها در شکل (۲۳) ارائه شده است. سختی سازه‌ها با افزایش شیب در هر دو حالت سقف‌های ساده و بهسازی شده کاهش یافته است. مقاومت سازه در سازه‌های با سقف‌های طاق ضربی ساده با افزایش شیب سقف کاهش یافته است. اما در سازه‌های با سقف‌های طاق ضربی بهسازی شده با رویه بتون آرمه میزان مقاومت به طور تقریبی برای شیب‌های مختلف دارای مقادیر یکسانی بوده است. بنابراین با افزایش شیب سقف میزان افزایش مقاومت بیشتر شده است.

شکل (۲۱) سختی مدل‌های اولیه (بهسازی نشده) و بهسازی شده

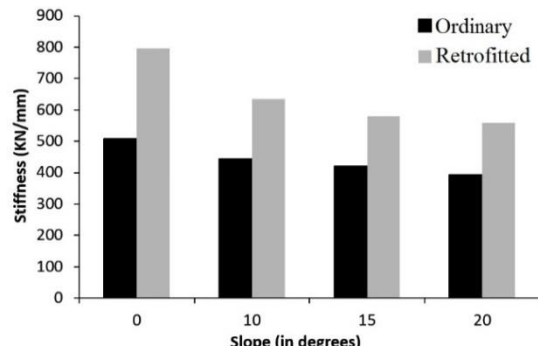


Fig. 21. Comparison of stiffness for ordinary and retrofitted models

شده است. در ساختمان های بهسازی نشده، ضریب اضافه مقاومت با افزایش شیب سقف، کاهش می یابد. عملکرد سقف در سازه های بهسازی نشده، به صورت صلب نیست و در نتیجه با افزایش شیب، وضعیت بحرانی تر حاصل می گردد و طبیعی است که اضافه مقاومت سقف با بحرانی تر شدن شرایط، سیر نزولی داشته باشد. در ساختمان های با سقف بهسازی شده با افزایش شیب سقف ساختمان ها، ضریب اضافه مقاومت افزایش می یابد. با افزایش شیب سقف در ساختمان های بهسازی شده با رویه بتن آرمه، نیروهای وارد شده به سقف از حالت درون صفحه به نیروهای خارج صفحه تمایل پیدا می نمایند، در نتیجه سقف تحت تنش های خمشی قرار می گیرد و فولادهای روطه بتن آرمه تحت کشش قرار گرفته و امکان جاری شوندگی فراهم می شود. بنا بر این افزایش مقاومت افزون در سقف های با شیب بیشتر می تواند به دلیل سخت شدگی میلگرد های رویه بتن بدست آید. در ساختمان های با سقف تخت، وزن رویه بتن باعث کاهش اضافه مقاومت ساختمان بهسازی شده است. هرچه میزان شیب سقف های طاق ضربی بیشتر باشد، رویه بتن آرمه بیشتر در معرض نیروی های جانبی ناشی از تحلیل بار افزون قرار می گیرد و عملکرد ساختمان در برابر نیروهای جانبی بهبود می یابد. در غیر این صورت نه تنها رویه بتن در باربری جانبی، سهم کمتری به خود اختصاص می دهد، بلکه آثار افزایش وزن ناشی از آن بر دیوارهای نگهدارنده اطراف سقف، موجب کاهش اضافه مقاومت ساختمان می شود. بیشترین میزان افزایش اضافه مقاومت در ساختمان های با سقف شیبدار ۲۰ درجه بوده است.

شکل ۲۶- ضریب اضافه مقاومت R_s مدل های اولیه (بهسازی نشده) و بهسازی شده

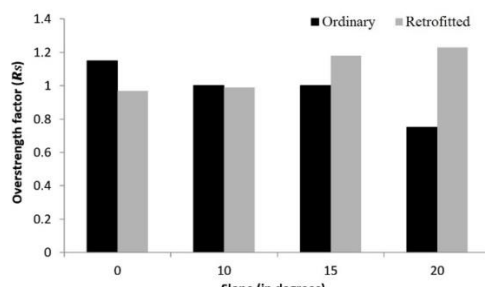


Fig. 26. Overstrength factor R_s for ordinary and retrofitted structures

زلزله های گذشته [24] نشان می دهد که ایجاد پیوستگی بین تیرچه ها و طاق ضربی می تواند از ایجاد دو مود شکستگی غالب در سقف های طاقی ضربی که شامل حرکت آزاد تیرچه ها و همچنین جدایی بخشی از طاق نزدیک به دیوار اطراف است، جلوگیری نماید که این نیز موجب بهبود عملکرد سقف و افزایش شکل پذیری آن می شود. همچنین نتایج نشان می دهد با افزایش شیب سقف در ساختمان های بهسازی شده این پارامتر کاهش یافته است (شکل ۲۴).

شکل (۲۴) شکل پذیری μ مدل های اولیه (بهسازی نشده) و بهسازی شده

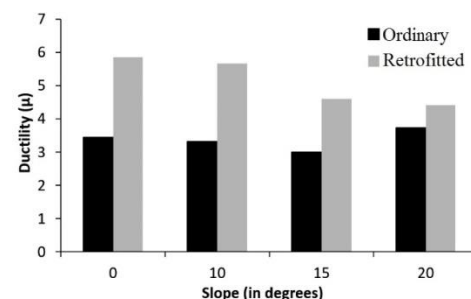


Fig. 24. Ductility parameter μ for ordinary and retrofitted structures

شکل (۲۵) ضریب شکل پذیری R_μ مدل های اولیه (بهسازی نشده) و بهسازی شده

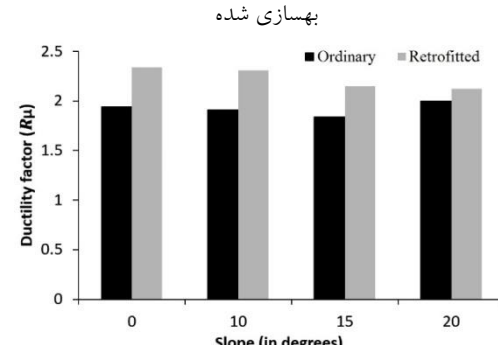


Fig. 25. Ductility reduction parameter R_μ for ordinary and retrofitted structures

در مورد ضریب شکل پذیری، از آن جا که علاوه بر پارامتر شکل پذیری، به پارامترهای دیگری مانند میرایی سازه، نوع خاک و هندسه سازه بستگی دارد، مشاهده می شود که با بهسازی ساختمان ها این ضریب افزایش می یابد، همچنین این ضریب در ساختمان های بهسازی نشده با تغییر شیب سقف، به طور تقریبی ثابت است، ولی در ساختمان های بهسازی شده دارای نرخ تغییرات نزولی است (شکل ۲۵).

در شکل (۲۶) نرخ تغییرات ضریب اضافه مقاومت بر اساس شیب سقف در مدل اولیه (بهسازی نشده) و بهسازی شده ارائه

جدول (۳) پارامترهای ضریب رفتار ساختمان‌های بنایی

Ordinary Jack Arch roof	F_y (KN)	Δ_{max} (mm)	F_u (KN)	Δ_{max} (mm)	μ	R_μ	R_s	R
0"	1027086	2.013	960011	6.95	3.45	1.94	1.15	2.23
10"	872341	2.09	768518	6.95	3.32	1.91	1	1.91
15"	733525	2.13	832125	6.4	3	1.84	1	1.84
20"	706277	1.54	767170	5.77	3.74	2	0.75	1.5
Retrofitted Jack Arch roof	F_y (KN)	Δ_{max} (mm)	F_u (KN)	Δ_{max} (mm)	μ	R_μ	R_s	R
0"	1096921	1.69	1243557	9.91	5.86	2.34	0.97	2.27
10"	1069984	1.77	1202592	10	5.66	2.31	0.99	2.29
15"	1091998	2.17	1228357	10.01	4.6	2.15	1.18	2.54
20"	1063326	2.27	1213620	10.03	4.41	2.12	1.23	2.61

Table 3 – Response modification factor parameters for the masonry buildings

شکل (۲۸) منحنی بارافزون آزمایش‌های ماهری [۱۲]

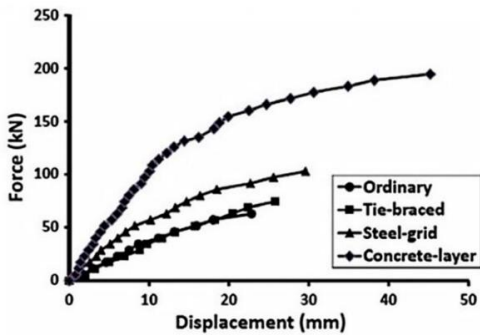


Fig. 28. Pushover results of Maher's experiments [12]

۶- ارزیابی اقتصادی روش بهسازی با رویه بتن آرمه

برای تحلیل اقتصادی سازه‌های بررسی شده از فهرست بهای اینیه ۱۳۹۲ استفاده شده است [25]. محاسبات انجام شده برای برآورد هزینه برای سقف تخت با ابعاد 7×5 متر با مساحت ۳۵ مترمربع صورت گرفته است و هزینه بهسازی با سه روش رویه بتن آرمه، شبکه تیرهای فولادی مقاطع و استفاده از میلگرد ضربدری برآورد شده است (شکل ۲۷). همان گونه که ملاحظه می‌شود، استفاده از رویه بتن آرمه هزینه کمتری در مقایسه با روش ایجاد شبکه فولادی دارد.

۷- نتیجه‌گیری

۱- بر اساس ضوابط استاندارد ۲۸۰۰ سقف‌های طاق ضربی ساده (بهسازی نشده) تخت و شیبدار به عنوان سقف‌های نیمه‌صلب و سقف‌های طاق ضربی بهسازی شده با رویه بتنی صلب است.

۲- با افزایش شیب در سقف‌های طاق ضربی ساده (بهسازی نشده) کاهش سختی اولیه (الاستیک) و مقاومت ایجاد شده است. بنابراین سقف‌های طاق ضربی شیبدار بیش از سقف‌های تخت در معرض آسیب‌پذیری قرار داشته و در اولویت بهسازی هستند. در مدل‌های سقف‌های طاق ضربی بهسازی شده با رویه بتنی سختی و مقاومت افزایش یافته است. در این مدل‌ها با تغییر شیب، میزان مقاومت تقریباً ثابت بوده اما سختی سازه با افزایش شیب کاهش می‌یابد.

۳- بهسازی سقف طاق ضربی با رویه بتن آرمه باعث افزایش میزان شکل‌پذیری سازه‌های بنایی با سقف طاق ضربی می‌شود اما با افزایش شیب سقف از میزان افزایش شکل‌پذیری

شکل (۲۷) مقایسه هزینه مربوط به اجرای شیوه‌های مختلف

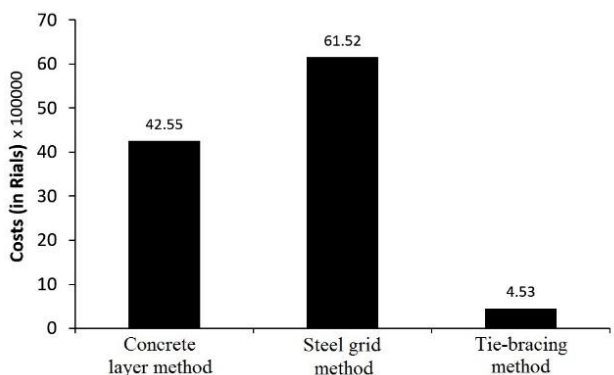


Fig. 27. Retrofitting cost comparison of different methods

بر اساس پژوهش‌های ماهری [12] (شکل ۲۸)، استفاده از روش میلگرد ضربدری کمترین تاثیر را روی منحنی بارافزون سازه داشته است و روش رویه بتن آرمه بیشترین تاثیر را روی منحنی بارافرون سازه دارد. بنابراین نتیجه می‌گیریم که این روش از نظر اقتصادی مقرر به صرفه است.

[9] Maher M. R. & Rahmani H. 2003 Static and seismic design of one-way and two-way jack arch masonry slabs. *Engineering Structures*, **25**(13), 1639-1654.

[10] Mirjalili A., Shakib H. & Mazroei A. 2009 Studying the Standard 2800 criteria regarding the flexible Jack-arch diaphragms based on experimental models. In *4th conference on an overview of the Seismic resistant design regulation of buildings (Standard no. 2800)*, Tehran, Iran (in Persian).

[11] Salajegheh E., Seyfouri S. & Mohamadi A. 2010 Evaluation of different retrofitting methods for Jack-arch roofs in masonry buildings. In *International conference on structural lightening and earthquakes*, Tehran, Iran (in Persian).

[12] Maher M. R., Pourfallah S., & Azarm R. 2012 Seismic retrofitting methods for the jack arch masonry slabs. *Engineering Structures*, **36**, 49-60.

[13] ANSYS Manual. Canonsburg, PA 15317, USA: ANSYS INC.; 2007

[14] Dhanasekar M., Kleeman P. W., & Page A. W. 1985 Biaxial stress-strain relations for brick masonry. *Journal of Structural Engineering*, **111**(5), 1085-1100.

[15] FEMA-356 2000 Prestandard and commentary for the seismic rehabilitation of buildings, Federal Emergency Management Agency.

[16] ACI Committee, American Concrete Institute & International Organization for Standardization 2008 Building code requirements for structural concrete (ACI 318-08) and commentary, American Concrete Institute.

[17] Maher M. 2007 Retrofitting of Jack arch masonry floors. In *International Symposium on Seismic Risk Reduction*, Bucharest, Romania.

[18] Ghiasi B., Soltani M., & Tasnimi A. A. 2012 A simplified model for analysis of unreinforced masonry shear walls under combined axial, shear and flexural loading. *Engineering Structures*, **42**, 396-409.

[19] Mehrabi A. B., Benson Shing P., Schuller M. P. & Noland J. L. 1996 Experimental evaluation of masonry-infilled RC frames. *Journal of Structural engineering*, **122**(3), 228-237.

[20] Instruction for Seismic Rehabilitation of Existing Buildings no. 360 2014 First Revision, Department of Technical Affairs, Iran (in Persian).

[21] Uang C. M. 1991 Establishing R (or R w) and C d factors for building seismic provisions. *Journal of Structural Engineering*, **117**(1), 19-28.

[22] Maher M. R., & Akbari R. 2003 Seismic behaviour factor, R, for steel X-braced and knee-braced RC buildings. *Engineering structures*, **25**(12), 1505-1513.

[23] Nassar A. A. & Krawinkler H. 1991 Seismic demands for SDOF and MDOF systems (No. 95). John A. Blume Earthquake Engineering Center, Department of Civil Engineering, Stanford University, USA.

[24] Maher M. R. 2005 Performance of building roofs in the 2003 Bam, Iran, earthquake. *Earthquake Spectra*, **21**(S1), 411-424.

[25] Manufacturer's suggested retail price (Building category) 2014, Department of Technical Affairs, Iran (in Persian).

سازه های بهسازی شده نسبت به حالت بهسازی نشده آن کاسته می شود. همچنین متوسط ضریب شکل پذیری در ساختمان های بهسازی شده برابر با $\frac{2}{23}$ است که در مقایسه با ساختمان های بهسازی نشده، 16% بیشتر است.

۴- ضریب رفتار R در سازه های بهسازی نشده با افزایش شبیه روندی نزولی داشته ولی در سازه های بهسازی شده با افزایش شبیه سقف، افزایش می یابد. به طوری که در ضریب رفتار سازه بهسازی شده و بهسازی نشده با شبیه سقف صفر درجه به طور تقریبی برابر بوده اما در سازه های با سقف 20 درجه بهسازی شده مقدار ضریب رفتار تقریباً دو برابر این مقدار در حالت بهسازی نشده می باشد.

۵- بهسازی با رویه بتن آرمه نسبت به بهسازی با شبکه فولادی هزینه کمتر و نسبت به بهسازی با تسممه یا میلگرد به صورت ضربدری هزینه بیشتری را شامل می شود. اما از نظر میزان بهبود عملکرد لرزه ای سیستم، نسبت به دو روش دیگر عملکرد بهتری داشته است.

۸- مراجع

- [1] Maher M. R. 2004 *Seismic design and implementation of Jack-arch roof*. International Institute of Earthquake Engineering and Seismology, Tehran, Iran (in Persian).
- [2] Maher M. R. 2001 *Principles of Jack-arch ceiling design against static and dynamic forces*. National-Plan Report no. 497, National Scientific Research Council, Tehran, Iran (in Persian).
- [3] Ambraseys N.N. 1963 The Buyin-Zara (Iran) earthquake of September, 1962 a field report. *Bulletin of the Seismological Society of America*, **53**(4), 705-740.
- [4] Razani R. & Lee K. L. 1973 The Engineering Aspects of the Qir, Iran Earthquake of April 10, 1972 in southern Iran, A Report to the National Science Foundation. National Academies.
- [5] Adeli, H. 1982 The sirch (Kerman, Iran) earthquake of 28 July 1981—A field investigation. *bulletin of the seismological society of America*, **72**(3), 841-861.
- [6] Mohajer- Ashjai A. & Nowroozi A. A. 1979 The Tabas Earthquake of September 161978 in east-central IranA preliminary field report, *Geophysical Research Letters*, **6**(9), 689-692.
- [7] Standard No. 2800 2005 Third Edition, Iranian Code of Practice for Seismic Resistant Design of Buildings, Building and Housing Research Center, Iran (in Persian).
- [8] Maher M. R. 2004 Seismic evaluation and design of jack arch slabs. In *13th world conference on earthquake engineering*, Vancouver, B.C., Canada.

Application of Reinforcement Concrete Layer Method for Retrofit of Slant Jack Arch Roofs in Masonry Buildings

M. Raissi Dehkordi^{1*}, S. Veismoradi², SH. Yousefi³, M. Eghbali⁴

1- Assist. Prof., School of Civil Engineering, Iran University of Science and Technology

2, 3- Graduate Student, School of Civil Engineering, Iran University of Science and Technology

4- Assist. Prof., Department of Civil Engineering, Faculty of Engineering, Universiy of Zanjan

mraissi@iust.ac.ir*

Abstract:

Jack arch masonry slab, developed in the 19th century in Britain has been used widely in floors and roofs of industrial and residential masonry buildings in many parts of the world. It is still in use in parts of Europe, the Middle East and Indian subcontinent. Taking into account the widespread use of the jack arch flooring and its ease of constructing as compared to the more modern concrete-based slabs, it should be pointed out that such slabs are built in traditional ways and little control is applied to their method of construction.

Collapse of a large number of these composite slabs during past earthquakes pointed out the weakness of this type of flooring to seismic loads. It has also highlighted the need for developing appropriate retrofitting schemes, since a large number of buildings in Iran are roofed with masonry slabs. As an illustration, the statistics have shown that around half of the slabs used in traditional buildings of Iran are jack arch roofs. Due to their poor construction style and lack of appropriate retrofitting, these slabs cannot tolerate high seismic demands and fail to meet the seismic performance required in areas with high seismic activities (especially the slant types which have been widely used in the buildings of northern areas of Iran). Therefore, rehabilitation of these roofs must be considered. One of the effective methods is to add a thin layer of reinforced concrete over the slab. The retrofitting procedure includes three main steps: (1) Removing the top flooring finish, (2) Installing a mesh of reinforcement bars over the slab and (3) Covering the bars with a layer of concrete. To further investigate the seismic behavior of these roofs, response modification factor can be utilized as a well-known seismic parameter.

This study investigates the seismic performance of masonry buildings with slant jack arch slabs retrofitted by the method of adding a layer of reinforced concrete. Two groups of one story masonry buildings with jack arch masonry slabs are designed including roofs with slopes of 0, 10, 15 and 20 degrees with and without concrete layer for roof retrofitting. Static nonlinear (pushover) analysis is carried out. Nonlinear analysis program "ANSYS" is employed for the analyses. The load-displacement curves for both types of models are obtained and variations of strength, ductility factor, stiffness and rigidity of roofs on both types of models are investigated. Response modification factors of two groups are calculated and results are compared. Results show that according to standard No. 2800 criterion, slant jack arch masonry slabs are classified as semi-rigid roofs and by retrofitting them, their rigidity can be enhanced. Also increasing the Slope of roofs inversely affects the Response modification factor (R), strength and elastic stiffness of structure. Finally For the consideration of economic factors, a cost analysis based on the tariffs of the Iranian Management and Programming Organization is carried out on three conventional methods of roof retrofitting (method of adding a concrete layer on the roof, steel grid method and tie-bracing method recommended by standard No. 2800). The obtained results indicate that method of adding a concrete layer is the most cost-effective method for jack arch retrofitting.

Keywords: Masonry Buildings, Jack Arch Roof, Slant Roof, Concrete Layer, Seismic Evaluation